

ΠΡΑΚΤΙΚΑ ΤΗΣ ΑΚΑΔΗΜΙΑΣ ΑΘΗΝΩΝ

ΣΥΝΕΔΡΙΑ ΤΗΣ 3ΗΣ ΝΟΕΜΒΡΙΟΥ 1983

ΠΡΟΕΔΡΙΑ ΜΕΝΕΛΑΟΥ ΠΑΛΛΑΝΤΙΟΥ

ΓΕΩΛΟΓΙΑ.—Γεωμορφολογική μελέτη τῆς Αἴγινας, ὑπὸ Γεωργίου Ι. Λειβαδίτη καὶ Ἀλίκης Ἀλεξούλη-Λειβαδίτη *. Ἀνεκοινώθη ὑπὸ τοῦ Ἀκαδημαϊκοῦ κ. Λουκᾶ Μούσουλου.

ΓΕΩΜΟΡΦΟΛΟΓΙΚΗ ΜΕΛΕΤΗ ΤΗΣ ΑΙΓΙΝΑΣ

Ἡ ἐργασία αὕτη μελετᾶ γεωμορφολογικὰ τὴν Αἴγινα. Στὴν ἀρχὴ ἔξετάζονται τὰ γενικὰ χαρακτηριστικὰ τοῦ νησιοῦ καὶ στὴ συνέχεια μελετῶνται τὸ θύραιογραφικὸ δίκτυο καὶ οἱ ἀκτὲς γιὰ νὰ ἔξαχθοῦν τὰ μορφολογικὰ συμπεράσματα.

Α. ΓΕΝΙΚΑ ΧΑΡΑΚΤΗΡΙΣΤΙΚΑ

Ίδιαίτερη σημασία γιὰ τὴν κατανόηση τῆς μορφολογίας μιᾶς περιοχῆς ἔχουν ἡ γεωλογικὴ κατασκευή, ἡ παρουσία ἢ μὴ μορφολογικῶν ἐνοτήτων καὶ ἡ ἐπίδραση τῶν κλιματολογικῶν συνθηκῶν στὶς διεργασίες διαβρώσεως - ἀποσθράσεως.

Γεωλογικὴ Κατασκευὴ

Μὲ τὴ γεωλογία τῆς Αἴγινας ἔχουν ἀσχοληθεῖ πολλοὶ ἐρευνητές. H.Washington (1894 - 95), R. Leyden (1949), A. Philippson (1950), E. Δάβη (1963), Γ. Λειβαδίτης (1974) καὶ ἄλλοι (βλέπε βιβλιογραφία). Οἱ παρατηρήσεις τους μποροῦν νὰ συνοψισθοῦν ὡς ἓξης :

* GEORGE LIVADITIS - ALICE ALEXOULI-LIVADITIS, Geomorphological study of Aegina island.

Τὰ ἀρχαιότερα στρώματα ἀνήκουν στὸ κατώτερο Κρητιδικό. Ἐντιπροσωπεύονται ἀπὸ ἀσβεστιτικούς σχιστολίθους. Ἀκολουθοῦν λευκοκοίτρινοι καὶ κυανότεφροι ἀσβεστόλιθοι μὲ κερατολιθικὲς στρώσεις τοῦ ἀνώτερου Κρητιδικοῦ. Ἐπάνω στοὺς Κρητιδικούς ἀσβεστολίθους ἔχουν ἀποτεθεῖ λιμναῖες καὶ ὑφάλμυρες μάργες (Πόντιο) καὶ στὴ συνέχεια θαλάσσιες καὶ ὑφάλμυρες μάργες (Πλακέντιο). Στὰ ἀνώτερα στρώματα τῶν μαργῶν αὐτῶν ἐκδηλώνεται ἡ πρώτη ἡφαιστειότητα μὲ στρώσεις τόφφων.

Ἡ πρώτη ἡφαιστειακὴ περίοδος ἔδωσε ἀρχικὰ τόφφους καὶ ἡφαιστειακὰ λατυποπαγὴ μὲ λατύπες ἀπὸ κεροστιλβικὸ ἀνδεσίτη μὲ αὐγίτη καὶ κεροστιλβικὸ δακτιοειδὲς μὲ βιοτίτη. Οἱ λάβες ποὺ ἀκολουθοῦν ἀποτελοῦνται ἀπὸ κεροστιλβικὸ δακτιοειδὲς καὶ σχημάτισαν τὸ κεντρικὸ κυρίως τμῆμα τοῦ νησιοῦ. Ἐπάνω στὶς λάβες τῆς πρώτης ἡφαιστειακῆς περιόδου ἀποτέθηκαν πάλι νεογενὴ ἵζηματα ἀπὸ μάργες καὶ τοφφικὸ ὄλικὸ ποὺ περιέχουν πλούσια πανίδια (Ἄν. Πλειόκαινο). Μετὰ τὴν ἀπόθεση καὶ τῶν ἵζημάτων αὐτῶν, συνεχίστηκε ἡ ἡφαιστειακὴ δραστηριότητα μὲ μιὰ δεύτερη ἡφαιστειακὴ περίοδο ποὺ ἔδωσε τὶς ἀνδεσιτικὲς λάβες τοῦ νότιου τμήματος τοῦ νησιοῦ (κεροστιλβικὸι αὐγιτικοὶ ὑπερσθενικοὶ ἀνδεσίτες). Μετὰ τὸ τέλος τῆς ἡφαιστειακῆς δραστηριότητας τὸ Β τμῆμα τοῦ νησιοῦ βυθίστηκε καὶ ἀποτέθηκε ἔνας λευκὸς σκληρὸς θαλασσογενῆς ψαμμιτομαργαϊκὸς ἀσβεστόλιθος, ὁ ὅποιος σήμερα καλύπτει ὅλο τὸ βόρειο τμῆμα.

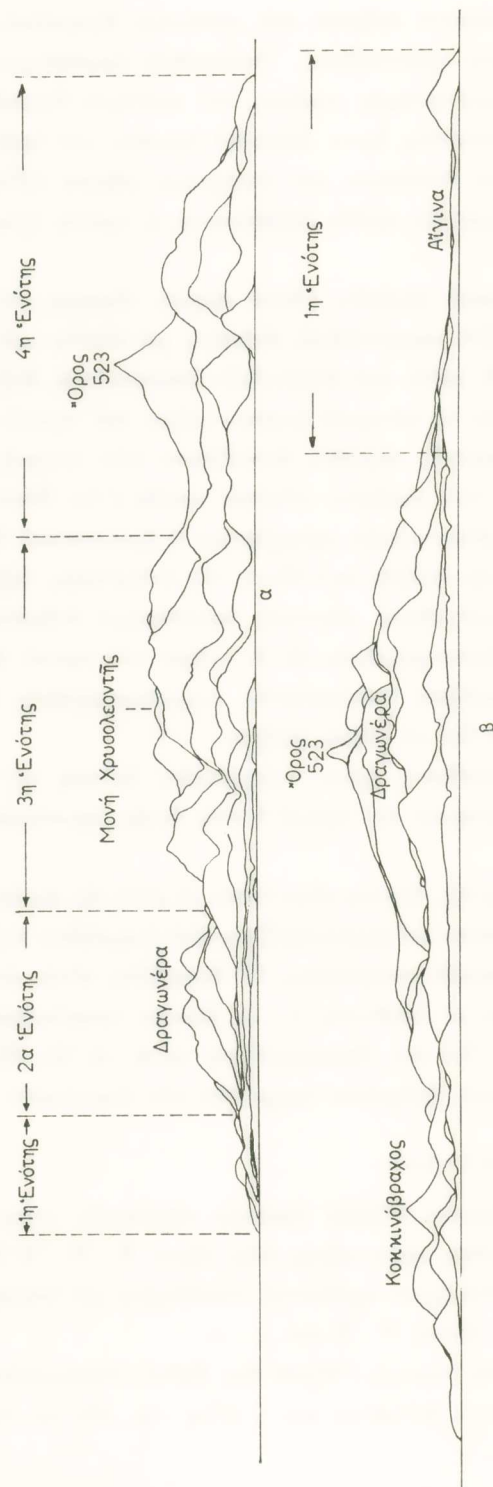
Οἱ τεταρτογενεῖς ἀποθέσεις ἔχουν περιορισμένη ἔκταση καὶ ἐμφανίζονται σὲ μικρὲς λεκάνες στὸ ἐσωτερικὸ τοῦ νησιοῦ ἢ στὶς ἀκτὲς (κροκαλοπαγὴ - ἐρυθρὲς ἀργιλοί).

Ἡ τεκτονικὴ ἔξέλιξη τῆς Αἴγινας εἶναι ὅμοια μὲ αὐτὴ τῆς παράκτιας περιοχῆς τῆς Ἀττικῆς καὶ τῶν Μεγάρων καὶ χαρακτηρίζεται ἀπὸ διαρρήξεις ποὺ ἔγιναν μετὰ τὴν ὀλοκλήρωση τῶν Ἀλπικῶν πτυχῶσεων. Οἱ διαρρήξεις αὐτὲς ἀνήκουν σὲ δύο συστήματα. Τὸ ἀρχαιότερο μὲ διεύθυνση Α - Δ, ἡλικίας προπλειοκαινικῆς καὶ τὸ νεώτερο μὲ διεύθυνση ΒΑ - ΝΔ ποὺ δημιουργήθηκε μετὰ τὸ Ἀν. Πλειόκαινο καὶ εὑθύνεται γιὰ τὴ διαμόρφωση ὄρισμένων τμημάτων τῶν ἀνατολικῶν ἀκτῶν.

Μορφολογικὲς ἐνότητες

Στὴν Αἴγινα διακρίνονται εὔκολα τέσσερις αὐτοτελεῖς μορφολογικὲς ἐνότητες ποὺ εἶναι διευθετημένες κατὰ μῆκος ἐνὸς ἀξονα Β - Ν. Ἡ διάταξη αὐτὴ γίνεται σαφής στὸ σχ. 1, ποὺ ἔχουν σχεδιαστεῖ παράλληλες καὶ ισαπέχουσες τοπογραφικὲς τομὲς κατὰ τοὺς ἀξονες Β - Ν καὶ Α - Δ.

1. Ἡ ὁμαλὴ παράκτια περιοχὴ (Αἴγινα ἔως Βατία), περιλαμβάνει τὴ βορειοδυτικὴ γωνία τοῦ νησιοῦ ποὺ βρίσκεται καὶ ἡ πόλη τῆς Αἴγινας (σχ. 1β) καὶ ἡ



Σχ. 1. Επικαλυπτόμενες μορφολγίες τους της Αγγίνας πολιτείας
 α. Τομή κατά τον διξονα (B - N) (διπολη Δ - Δ)
 β. Τομή κατά τον διξονα Λ - Δ (διπολη Λ - Λ)
 (Λεβαδίτης 1974)

βόρεια όμαλή παράκτια περιοχή μέχρι τὸ χωριὸν Βαῖα. Ἀποτελεῖται ἀπὸ μιὰ σγεδόν επίπεδη ἐπιφάνεια ἀπὸ νεογενεῖς καὶ τεταρτογενεῖς ἀποθέσεις ποὺ βρίσκεται σὲ ὑψόμετρο 30 περίπου μὲ μικρὴ ὄμαλὴ κλίση 2°- 5° βόρεια.

2. Οἱ ἀσβεστολιθικὲς λοφοσειρὲς τοῦ βόρειου κεντρικοῦ τμῆματος τοῦ νησιοῦ ποὺ ἀποτελοῦνται ἀπὸ τοὺς λόφους Δραγωνέρα (311 μ.), Παλιόμυλοι (300 μ.) καὶ Τοιντράρη (108 μ.). Ὁ ἐπιμήκης ἀξονας τῆς λοφοσειρᾶς αὐτῆς ἔχει μῆκος 4,2 km καὶ διεύθυνση ΝΝΔ - BBA.

3. Ἡ κεντρικὴ ὑψηλὴ περιοχὴ ποὺ ἀποτελεῖται ἀπὸ ἕνα ὑψωμα, σὰν ὁροπέδιο, μὲ μέσο ὑψόμετρο 350 στὸ κέντρο τοῦ ὅποιου βρίσκεται ἡ μονὴ Χρυσολεοντῆς. Καταλαμβάνεται κατὰ τὸ μεγαλύτερο μέρος ἀπὸ λάβες τῆς πρώτης ἡφαιστειακῆς περιόδου καὶ μικρὸ μόνο τμῆμα του ἀπὸ λάβες τῆς δεύτερης περιόδου (χωριὸν Λαζάρηδες).

4. Τὸ νότιο τμῆμα τοῦ νησιοῦ μὲ τὶς ὀξύληκτες κορυφές. Σ' αὐτὸ κυριαρχεῖ ὁ ὥρεινὸς ὅγκος τοῦ «Ὀρους» μὲ ὑψηλότερη κορυφὴ τὸν Προφήτη Ἡλία (523 μ.) ποὺ εἶναι καὶ τὸ ὑψηλότερο σημεῖο τοῦ νησιοῦ. Ἡ ἐνότητα αὐτὴ ἀποτελεῖται ἀπὸ λάβες τῆς δεύτερης ἡφαιστειακῆς περιόδου.

Κλιματολογικὲς συνθῆκες. Τὸ πρόβλημα τῆς ἀποσταθρώσεως - διαβρώσεως - αποθέσεως:

«Ἐνας ἀπὸ τοὺς βασικοὺς παράγοντες στὴ διαμόρφωση τοῦ ἀναγλύφου μιᾶς περιοχῆς εἶναι τὸ κλίμα.

Μετεωρολογικοὶ σταθμοὶ στὴν Αἴγινα δὲν ὑπάρχουν καὶ γι' αὐτὸ κρησιμοποιοῦμε μετεωρολογικὰ στοιχεῖα ἀπὸ τὸν εὐρύτερο χῶρο τοῦ Σαρωνικοῦ καὶ συγκεκριμένα τὰ στοιχεῖα τῶν σταθμῶν τοῦ ἀεροδρομίου Ελληνικοῦ καὶ Ζούρβα τῶν Σπετσῶν.

Ἡ συγγνότητα καὶ ἡ ἔνταση τῶν ἀνέμων ποὺ πνέουν στὸ Σαρωνικὸ κυμαίνεται ἀνάλογα μὲ τὶς ἐποχές τοῦ χρόνου. Γενικὰ ὑπερισχύουν σὲ ἔνταση καὶ συγγνότητα οἱ ἀνεμοί Β ἔως ΒΑ διευθύνσεως καὶ ἀκολουθοῦν οἱ Ν ἔως ΝΔ.

Ἐκτὸς ἀπὸ τοὺς ἀνέμους ποὺ παρουσιάζουν μεγάλο ἐνδιαφέρον γιὰ τὴ διάβρωση κυρίως τῶν ἀκτῶν, σπουδαιότατο διαβρωτικὸ παράγοντα ἀποτελοῦν οἱ βροχοπτώσεις. Θεωρητικὰ βέβαια θὰ ὑπάρχουν δρισμένες διακυμάνσεις στὴν ποσότητα καὶ τὴ συγγνότητα, ποὺ ὀφείλονται στὸ ἀνάγλυφο, ποὺ ὅμως ἔξ αἰτίας τῆς ἐλλείψεως βροχομετρικῶν σταθμῶν δὲν μποροῦμε νὰ τὶς καθορίσουμε. Σὲ μιὰ μικρῆς ἐκτάσεως περιοχή, ὅπως ἡ Αἴγινα, τὸ κλίμα θεωρεῖται σὰν ἐνιαῖο. Επομένως εἶναι φυσικὸ ὅτι διαφορὲς στὸ εἶδος καὶ τὸ βαθμὸ ἀποσαθρώσεως τῶν πετρω-

μάτων πού ἔχει σὰν συγέπεια τὴ μεγάλη ποικιλία μορφῶν ἀναγλύφου πού παρατηροῦμε στὸ νησί, ὅφείλονται κυρίως στὴ διαφορετικὴ λιθολογικὴ σύσταση καὶ ὅχι στὸ κλίμα.

Οἱ ἀσβεστόλιθοι ἔχουν ὑποστεῖ ἐπιφανειακὴ καρστικὴ διάβρωση, ποὺ εἶναι ἐμφανέστερη στὶς θέσεις ὅπου ἡ κλίση τῶν πετρωμάτων εἶναι μικρή. Στοὺς ἀσβεστόλιθους αὐτοὺς παρατηροῦνται δακτυλογλυφὲς καὶ ἀμαξιτροχιές, ἐνῶ ἀποισιάζουν τὰ καρστικὰ φρέατα, οἱ δολίνες καὶ οἱ οὐβάλες. Ἐπίσης δὲν ἔχουν ἀναπτυγθεῖ ὑπόγειοι καρστικοὶ σχηματισμοὶ ἐκτὸς ἀπὸ ἕνα σπήλαιο στὶς ΒΔ κλιτύες τοῦ λόφου Παροιάγκος, τοῦ δποίου ἡ εἰσόδος ἔχει καταστραφεῖ.

Οἱ λάβες τῆς πρώτης ἡφαιστειακῆς περιόδου εἶναι κεροστιλβικὸς δακτιοειδῆς. Παρουσιάζουν ἔνα χαρακτηριστικὸ δίκτυο ἀπὸ πυκνὲς κατατμήσεις ποὺ ὅφείλονται στὴν ταχεία ψήξη τους. Μέσα ἀπὸ αὐτὲς τὶς κατατμήσεις κατεισδύει τὸ νερὸ τῆς βροχῆς καὶ προκαλεῖται χημικὴ ἀποσάθρωση. Σὰν ἀποτέλεσμα εἶναι ὁ ἀποχωρισμὸς σχεδὸν παραλληλόγραμμων κομματιῶν μικρῶν διαστάσεων (20×30 εμ) ποὺ πέφτουν στὶς πλαγιές τῶν λόφων καὶ σχηματίζουν πλευρικὰ κορήματα (Κοκκινόβραχος, Βουνὸ Δένδρου, Τρικόρφι, Ἀνιτσαῖο). Τὰ κορήματα αὐτὰ παρασύρονται στὴ συνέχεια ἀπὸ τὰ νερὰ τῆς βροχῆς καὶ μεταπίπτουν σὲ ποταμογειμάρριες κροκάλες.

Οἱ λάβες τῆς δεύτερης ἡφαιστειακῆς περιόδου εἶναι μικροκρυσταλλικοὶ κεροστιλβικοὶ ἀνδεσίτες καὶ παρουσιάζουν βαθιές κατατμήσεις σὲ ἀραιὰ διαστήματα ποὺ ὅφείλονται στὴν ἀπότομη ψύξη τῶν ἐπιφανειακῶν τμημάτων. Σὲ σχέση μὲ τὶς λάβες τῆς πρώτης περιόδου εἶναι ἀνθεκτικότερες στὴν ἀποσάθρωση καὶ ἀποχωρίζονται σὲ μεγάλους ὅγκους.

Οἱ τόφοι καὶ τὰ ἡφαιστειακὰ λατυποπαγή εἶναι σχηματισμοὶ ποὺ ἀποτελοῦνται ἀπὸ ἡφαιστειακὴ σποδὸ καὶ ἀναβλήματα ἡφαιστειών (βολίδες, μύδροι κ.λπ.). Εἶναι τὰ πιὸ εύκολοδιάβρωτα ἀπὸ τὰ ἡφαιστειογενή πετρώματα. Ἀρχικὰ κάλυπταν μεγάλη ἔκταση τῆς κεντρικῆς περιοχῆς. Σήμερα, μετὰ ἀπὸ ἔντονη διάβρωσή τους ἔχουν ἀπομείνει μόνο μερικὰ ὑπολείμματα σὰν νησίδες. Τὰ ὑπολείμματα αὐτὰ διαβρώνονται πολὺ γρήγορα. "Οταν τὸ ὑπόβαθρό τους ἀποτελεῖται ἀπὸ φυλλώδεις μάργες, ὑποσκάπτεται ἀπὸ τοὺς χειμάρρους καὶ τὰ ὑπερκείμενα ἡφαιστειακὰ λατυποπαγή κατακερματίζονται σὲ μεγάλους ὅγκους. Ἡ πιὸ χαρακτηριστικὴ περίπτωση τοῦ μηχανισμοῦ αὐτοῦ εἶναι ἡ διάβρωση στὸ Σπασμένο Βουνὸ (περιοχὴ Ἀγ. Νεκταρίου).

Στὸ κεντρικὸ τμῆμα τῆς Αἴγινας ἀπαντοῦν οἱ μάργες τοῦ νεογενοῦς ποὺ ὑπόκεινται τοῦ ἡφαιστειακοῦ λατυποπαγοῦς. "Οπου αὐτὸς ἔχει διάβρωθεῖ καὶ

έχουν άποκαλυφθεῖ οἱ μάργες, σχηματίζεται ἔνα δύμαλὸ ἀνάγλυφο ἐξ αἰτίας τῆς γρήγορης καὶ εύκολης διαβρώσεώς τους (περιοχὴ Μεσαγροῦ). Ἐπίσης, ἐπειδὴ εἶναι ἀδιαπέρατες, δημιουργεῖται ἔνα πλούσιο ὑδρογραφικὸ δίκτυο.

Τὸ βόρειο τμῆμα τοῦ νησιοῦ καλύπτεται ἀπὸ ψαμμιτομαργαϊκὸ ἀσβεστόλιθο ποὺ σχηματίζει ἔνα στρῶμα πάχους 2 ἔως 10 μ. Γενικὰ τὸ πέτρωμα αὐτὸ εἶναι ἀνθεκτικὸ στὴ διάβρωση. Διασχίζεται ἀπὸ λίγους χειμάρρους μὲ κατακόρυφες ὅχθες, ἐνῶ οἱ μεσοποτάμιοι ὑδροκρίτες εἶναι πλατεῖς καὶ ἐπίπεδοι, παρουσιάζουν δηλαδὴ χαρακτηριστικὰ γνωρίσματα σταδίου νεότητος. Στὴ μορφολογία αὐτὴ τοῦ βόρειου τμήματος ἔχει βέβαια συμβάλει καὶ ἡ παλαιογεωγραφικὴ ἐξέλιξη τῆς περιοχῆς.

Μὲ τοὺς μηχανισμοὺς διαβρώσεως - ἀποσαθρώσεως, ποὺ παραπάνω ἀναλύθηκαν, προέκυψαν, ἀνάλογα μὲ τὸ πέτρωμα διάφορα ὑλικὰ ἀποσαθρώσεως ποὺ ἀπαντοῦν, εἴτε σὰν πλευρικὰ κορήματα στὶς κλιτύες τῶν ἡφαιστειακῶν βουνῶν, εἴτε σὰν ποταμοχειμάρριες ἀποθέσεις ἰδίως στὴν ἔξοδο τῶν κοιλάδων στὴ θάλασσα. Στοὺς μικροὺς στενοὺς κόλπους τοῦ νοτίου τμήματος συναντῶνται παραλίες μὲ μεγάλες ἡφαιστειακὲς κροκάλες (μέχρι καὶ 30 εμ μῆκος) ποὺ προέρχονται ἀπὸ τοὺς χειμάρρους ποὺ διαβρώνουν τὶς λάβες καὶ τοὺς τόφφους.

Διαβάθμιση τῶν ὑλικῶν ποὺ μεταφέρονται δὲν παρατηρεῖται, λόγω τοῦ μικροῦ μήκους τῶν ρευμάτων. Γενικά, οἱ ἀποθέσεις εἶναι περιορισμένες. Τὸ ἐδαφικὸ κάλυμμα εἶναι οὐσιαστικὸ ἀνύπαρκτο στὴ μεγαλύτερη ἔκταση τοῦ νησιοῦ καὶ αὐτὸ διείλεται κυρίως στὴν περιορισμένη φυτοκάλυψη. Παράκτιες λεπτόκοκκες ἀποθέσεις (ἄγριοι μὲ κεροστίλβη) παρατηροῦνται μόνο στοὺς ὄρμους Μαραθώνα καὶ Ἀγ. Μαρίνας, οἱ ὅποιες ἐξετάζονται στὸ κεφάλαιο γιὰ τὶς ἀκτές.

B. ΥΔΡΟΓΡΑΦΙΚΟ ΔΙΚΤΥΟ

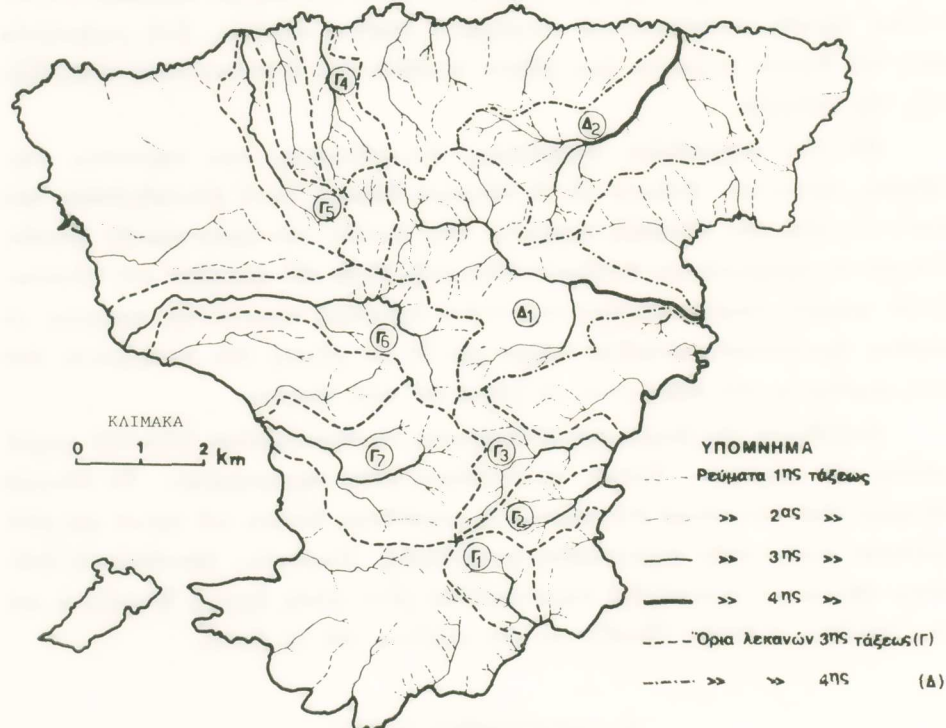
Γιὰ τὴ μελέτη τοῦ ὑδρογραφικοῦ δικτύου καὶ ἴδιαιτερα τὸν καθορισμὸ τῶν μορφολογικῶν στοιχείων τῶν λεκχυῶν ἀπορροῆς, κρίθηκε ἀπαραίτητη πρῶτα ἡ ταξινόμηση καὶ στὴ συνέχεια ἡ ποσοτικὴ γεωμορφολογικὴ ἀνάλυση.

Ταξινόμηση

Χρησιμοποιήθηκε τὸ σύστημα ταξινομήσεως τοῦ A. Strahler (1957). Τὸ ταξινομημένο ὑδρογραφικὸ δίκτυο τῆς Αἴγινας δίνεται στὸ χάρτη τοῦ σχ. 2 ὁ ὅποιος κατασκευάστηκε μὲ κλίμακα 1 : 25.000.

Από τὸ χάρτη φαίνεται ὅτι οἱ κύριοι κλάδοι τοῦ ὑδρογραφικοῦ δικτύου τοῦ νησιοῦ παρουσιάζουν γενικὰ ἀκτινωτὴ διάταξη μὲ δεσπόζουσα ὑδροκριτικὴ περιοχὴ τὴν κεντρικὴ ὑψηλὴ περιοχὴ (Μονὴ Χρυσολεοντῆς) ἐνῶ τὰ ἐπὶ μέρους ὑδρογραφικὰ δίκτυα παρουσιάζουν συνήθως δενδριτικὴ ἀνάπτυξη, ἐκτὸς τῶν ὑδρογραφικῶν δικτύων ποὺ ἀναπτύσσονται στοὺς νεώτερους σχηματισμοὺς (ὅπως εἶναι

ΧΑΡΤΗΣ ΥΔΡΟΓΡΑΦΙΚΟΥ ΔΙΚΤΥΟΥ ΤΗΣ ΑΙΓΙΝΑΣ



Σχ. 2.

ὁ πωρόλιθος) ποὺ εἶναι ἀπλούστερα. Στὴν κεντρικὴ βορειοδυτικὴ περιοχὴ ἐμφανίζονται ρεύματα ποὺ δὲν καταλήγουν στὴ θάλασσα. Αὐτὰ ἀναπτύσσονται σὲ ἡφαιστειακὰ λατυποπαγὴ ποὺ ἔχουν αὐξημένη διαπερατότητα.

Ποσοτικὴ ἀνάλυση

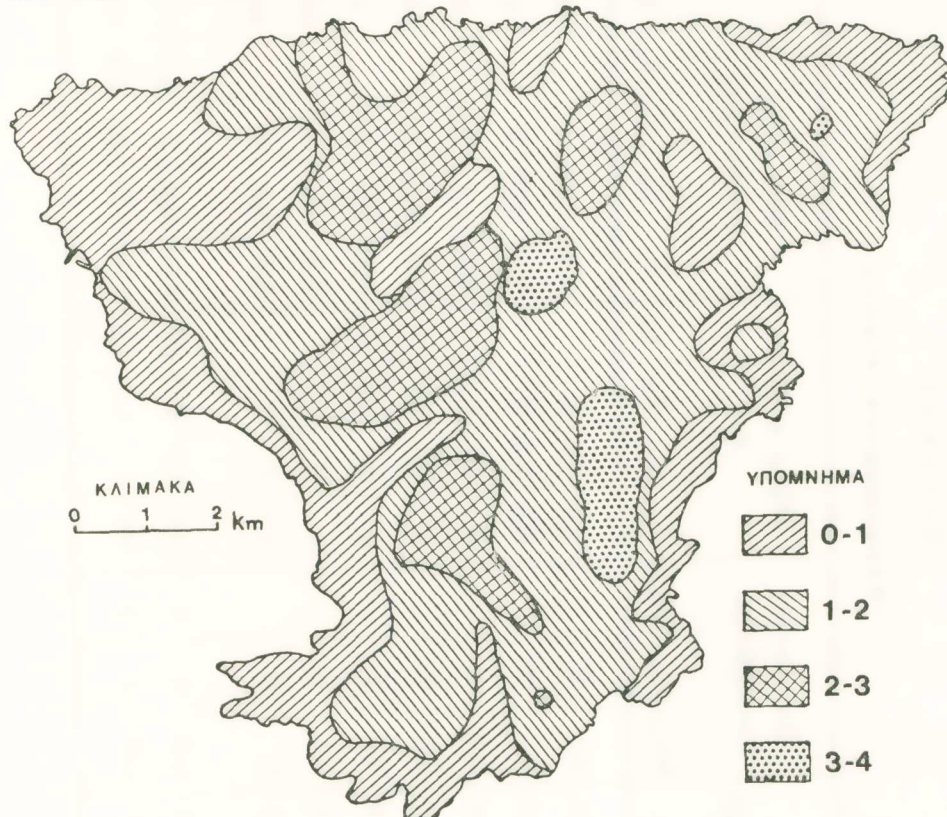
Ολόκληρο τὸ νησὶ διαρρέεται ἀπὸ πλῆθος χειμάρρων ποὺ δὲν ἀνήκουν σὲ ἕνα ἑνιαῖο ὑδρογραφικὸ δίκτυο, ἀλλὰ συνιστοῦν αὐτοτελεῖς λεκάνες ἀπορροῆς.

Απὸ τὴ μελέτη τοῦ χάρτη τοῦ ὑδρογραφικοῦ δικτύου (σχ. 2) παρατηροῦμε ὅτι ἀναπτύσσονται στὸ νησὶ δύο λεκάνες τετάρτης τάξεως καὶ ἐπτὰ λεκάνες τρίτης

τάξεως. Έκτός δπό τις λεκάνες αύτές άναπτυσσονται και άλλες μικρότερης τάξεως που δὲν άποτελοῦν ξειδιόγες γεωμορφολογικές μονάδες και δὲν κρίθηκε σκόπιμο νχ έξεταστούν λεπτομερώς.

Για τὴν ποσοτικὴ ἀνάλυση τοῦ θρογγαφικοῦ δικτύου προσδιορίσαμε τὰ στοιχεῖα που ἀναφέρονται στὸν πίνακα I.

ΧΑΡΤΗΣ ΠΥΚΝΟΤΗΤΟΣ ΥΔΡΟΓΡΑΦΙΚΟΥ ΔΙΚΤΥΟΥ ΤΗΣ ΑΙΓΙΝΑΣ



Σχ. 3.

Απὸ τὴ μελέτη τῶν τιμῶν τοῦ συντελεστῆ διακλαδώσεως $Rb_{1,2}$ (πίνακας I), ὁ ὅποιος παριστάνει τὴ σχέση τοῦ ἀριθμοῦ τῶν ρευμάτων πρώτης τάξεως πρὸς τὸν ἀριθμὸ τῶν ρευμάτων δευτέρας τάξεως κάθε λεκάνης ἀπορροῆς $\left(Rb_{1,2} \frac{N_1}{N_2} \right)$ φαίνεται ὅτι εἶναι ἀνεξάρτητος τοῦ γεωλογικοῦ ὑποβάθρου. Ετσι ἡ λεκάνη ἀπορροῆς Γ₅, που ἀναπτύσσεται σὲ νεογενή στρώματα, ἔχει τὸν ἴδιο συντελεστὴ διακλαδώσεως μὲ τὴ λεκάνη Γ₁ που ἀναπτύσσεται ἐξ ὀλοκλήρου σὲ λάβες.

ΠΙΝΑΚΑΣ Ι

‘Υδρογραφικό δικτυο

V	Αριθμός ρευμάτων και τάξη	ΣΝ	Συντελεστής διαχλοδόσεως			Μήκος ρευμάτων km			Μέσο μήκος ρευμάτων km			Συντελεστής μήκους ρευμάτων					
			Rb _{1,2}			Rb _{2,3}			Rb _{3,4}			R ₁					
			N ₁	N ₂	N ₃	N ₄	R _{b1,2}	R _{b2,3}	R _{b3,4}	L ₁	L ₂	L ₃	L ₄	ΣL	R _{2,1}	R _{3,2}	R _{4,3}
Γ ₁	10	4	15	3,5	4		2,8	1,4	1	0,28	0,28	1		4,9	1	3,75	
Γ ₂	9	3	1	13	3	2	2,5	2,3	2	0,28	0,77	2		6,8	2,75	2,6	
Γ ₃	11	2	1	14	5,5	2	3	2,2	1,2	0,27	1,1	1,2		6,4	4,07	4,09	
Γ ₄	9	2	1	12	4,5	2	3	2,4	1,1	0,33	1,05	1,1		6,2	3,48	4,05	
Γ ₅	7	2	1	10	3,5	2	2	1	2,6	0,29	0,5	2,6		5,6	1,72	5,2	
Γ ₆	14	4	1	19	3,5	4	3	2	5,2	0,21	0,5	5,2		10,2	2,38	10,4	
Γ ₇	15	5	1	21	3	5	4,1	3	3	0,27	0,6	3		10,1	2,22	5	
Δ ₁	33	8	2	1	44	4,16	4	2	10,8	4,6	4	2,2	0,33	0,56	2	2,2	
Δ ₂	28	6	2	1	37	4,67	3	2	9,6	4	1,4	2,2	0,34	0,67	0,7	2,2	17,2

Προκειμένου νὰ βρεθεῖ ἡ πιθανὴ ἐξάρτηση τῆς πυκνότητας τοῦ ὄδρογραφικοῦ δικτύου μὲ τὸ γεωλογικὸ ὑπόβαθρο, κατασκευάστηκε χάρτης πυκνότητας ὄδρογραφικοῦ δικτύου (σχ. 3).

Οἱ μεγαλύτερες πυκνότητες ($2 - 4 \text{ km/km}^2$) παρατηροῦνται σὲ περιοχὲς ποὺ καλύπτονται ἀπὸ λάβες, ἐνῶ ἡ μικρότερη πυκνότητα παρατηρεῖται σὲ περιοχὲς πλειοτεταρτογενῶν ἀποθέσεων.

Παρατηροῦνται βέβαια ἀποκλίσεις ἀπὸ τὶς πιὸ πάνω σχέσεις, ἀλλὰ αὐτὲς ἐπηρεάζονται ἀπὸ τὶς πρωτογενεῖς μορφὲς ἀναγλύφου (ήφαιστειακὲς κλιτύες) καθὼς καὶ ἀπὸ τὴν παλαιογεωγραφικὴ ἐξέλιξη ὁρισμένων τυμπάτων τοῦ νησιοῦ (ἀσυνέχης ἀνάπτυξη κοιλάδων βορείου τυμπάτου).

Μορφολογικὰ στοιχεῖα λεκανῶν ἀπορροῆς

"Οπως ἀναφέραμε καὶ προηγουμένως ἀναπτύσσονται δύο λεκάνες τετάρτης τάξεως καὶ ἑπτὰ τρίτης τάξεως. Γιὰ κάθε μίᾳ ἀπ' αὐτὲς τὶς λεκάνες ὑπολογίστηκαν διάφορα στοιχεῖα ποὺ μεταξὺ ἀλλων προσδιορίζουν καὶ τὴ γεωμετρία τους. Τὰ στοιχεῖα αὐτὰ δίνονται στὸν πίνακα II.

Γιὰ συμπλήρωση τῶν στοιχείων ποὺ δίνονται στὸν πίνακα, καθὼς καὶ γιὰ τὴν ὅσο τὸ δυνατὸν λεπτομερέστερη ἐξέταση τῶν λεκανῶν ἀπορροῆς, κάναμε ποσοτικὴ μορφολογικὴ ἀνάλυση τοῦ ἀναγλύφου κάθε λεκάνης καὶ ἀπὸ τὰ στοιχεῖα τους κατασκευάστηκαν ὑψογραφικὲς καμπύλες γιὰ κάθε μίᾳ ἀπ' αὐτὲς καθὼς καὶ γιὰ δλόκληρο τὸ νησί.

Οἱ ὑψογραφικὲς καμπύλες καθὼς καὶ οἱ μετρήσεις ποὺ ἔγιναν δίνονται στὰ σχήματα 4, 5, 6, 7, 8 καὶ ἐμφανίζουν τὴ σχέση μεταξὺ τοῦ ὑψομέτρου καὶ τῆς ἀντίστοιχης ἐπιφάνειας ἐπὶ τοῖς %.

'Απὸ τὴν ἐξέταση τῆς καμπύλης τοῦ σχ. 8 ποὺ ἀντιπροσωπεύει τὴν πιὸ πάνω σχέση γιὰ δλόκληρο τὸ νησί φαίνεται ὅτι τὸ μέσο ὑψόμετρό της εἶναι 128 καὶ τὸ ὑψόμετρο μεγίστης συγχόνητας 50.

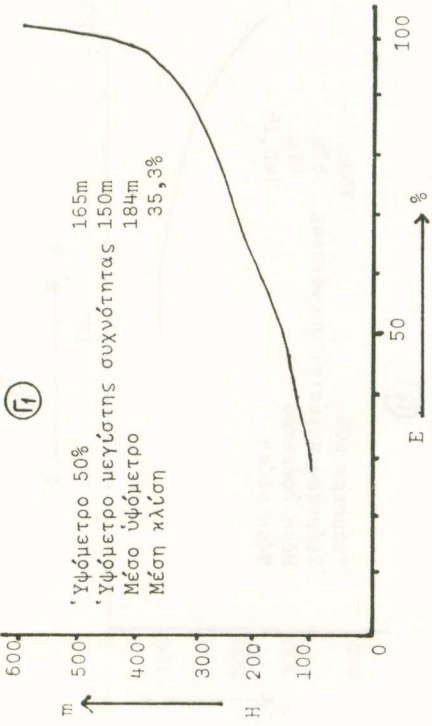
'Απὸ τὴ σύγκριση τῶν τιμῶν τῆς μέσης κλίσεως τῶν διαφόρων λεκανῶν παρατηρεῖται ὅτι οἱ νεώτερες λεκάνες ὅπως π.χ. οἱ Γ_4 καὶ Γ_5 ἐμφανίζουν μικρὴ τιμὴ μέσης κλίσεως, ἐνῶ οἱ παλιότερες λεκάνες π.χ. Γ_1 καὶ Γ_2 ἐμφανίζουν μεγάλη τιμὴ μέσης κλίσεως ἐνῶ θὰ ἔπρεπε νὰ συμβαίνει τὸ ἀντίθετο.

'Απὸ τὸ γεγονός αὐτὸ συμπεραίνεται ὅτι ἡ κλίση τῶν λεκανῶν Γ_1 καὶ Γ_2 εἶναι πρωτογενής, δηλαδὴ τὸ ἀνάγλυφο δημιουργήθηκε ἀπὸ τὴν ἡφαιστειακὴ δραστηριότητα καὶ ὅχι ἀπὸ τὴ διάβρωση.

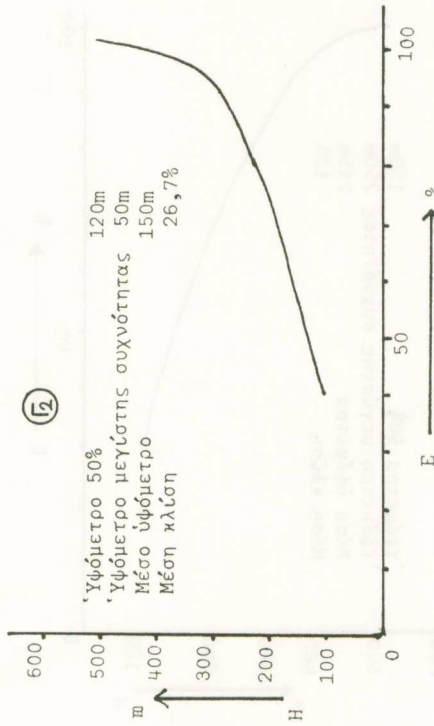
ΠΙΝΑΚΑΣ ΙΙ

Μορφομετρία λεκάνων και πορροτίς

Απόσταση		Μέγιστη		Κυριότερη		Μέση		Επίπεδο		Επίπεδα περιοχής		Επίπεδα περιοχής		Επίπεδα περιοχής		Επίπεδα περιοχής		Επίπεδα περιοχής			
Γ_1	1,746	1,775	1,250	5,4	0,843	0,915	165	150	184	35,3	2,8	8,591	10,5	0	523	523	0,295				
Γ_2	1,6	2,675	1,050	6,5	0,467	0,774	120	50	150	26,7	4,25	8,125	5,6	0	523	523	0,496				
Γ_3	2,58	3,2	1,75	8	0,506	0,795	150	250	245	50	2,480	5,426	6,3	0	523	523	0,463				
Γ_4	2,418	2,850	1,225	7,6	0,460	0,849	105	50	96	14,1	2,795	5,41	3,64	0	310	310	0,109				
Γ_5	2,48	3,825	1,025	9	0,385	0,749	80	50	98	14,8	2,258	4,032	2,88	0	340	340	0,089				
Γ_6	5,65	5,9	2	15	0,315	0,846	240	350	223	19	1,805	3,363	2,31	0	450	450	0,076				
Γ_7	5,7	3,675	2,5	10,5	0,649	0,91	190	150	200	20,4	1,772	3,684	5,33	0	523	523	0,442				
Δ_1		9,47	5,5	2,675	16,6	0,448	0,961	170	150	100	14	1,919	4,789	1,9	0	450	450	0,082			
Δ_2		7,475	4,65	2,450	13,3	0,509	0,911	95	50	195	24,6	2,397	5,457	2,5	0	310	310	0,067			



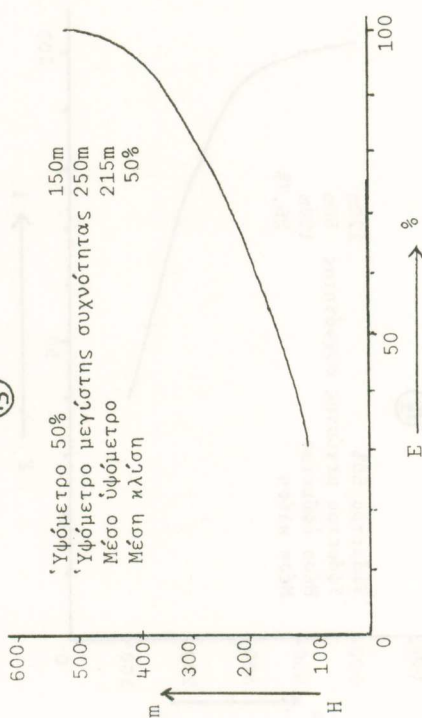
ΠΙΝΑΚΑΣ ΜΕΤΡΗΣΕΩΝ	
'Ισοϋψεις	'Επιφάνεια μεταξύ δύο διαδοχικών ίσοϋψεων km ²
0 - 100	0,441
100 - 200	0,575
200 - 300	0,451
300 - 400	0,201
400 - 500	0,059
500 - 600	0,006



ΠΙΝΑΚΑΣ ΜΕΤΡΗΣΕΩΝ	
'Ισοϋψεις	'Επιφάνεια μεταξύ δύο διαδοχικών ίσοϋψεων km ²
0 - 100	0,633
100 - 200	0,510
200 - 300	0,340
300 - 400	0,095
400 - 500	0,025

Σχ. 4.

③



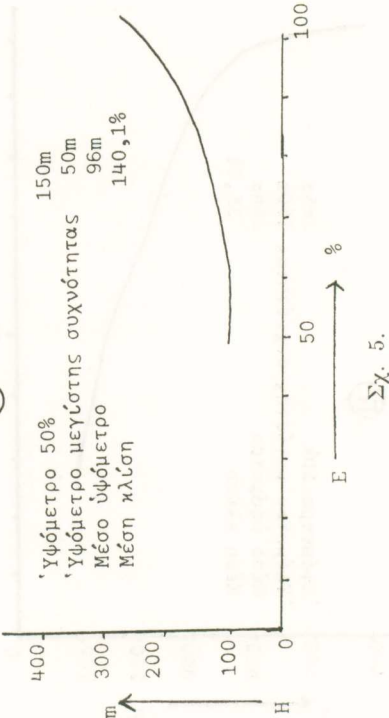
ΠΙΝΑΚΑΣ ΜΕΤΡΗΣΕΩΝ

'Ισούψεις'	'Επιφάνεια μεταξύ δύο διαδοχικών ίσοψιών km ²		'Επιφάνεια μεταξύ δύο διαδοχικών ίσοψιών %'		'Επιφάνεια έπι τοῖς %/ περιοριζούμενη ἀπό τὴν μεγαλύτερη ίσοψήν	
	0 - 100	100 - 200	200 - 300	300 - 400	400 - 500	500 - 600
0	0,61	0,5	0,79	0,54	0,13	0,04
100	23,64	19,38	30,62	20,93	5,04	0,39
200	43,02	73,64				
300						
400						
500						

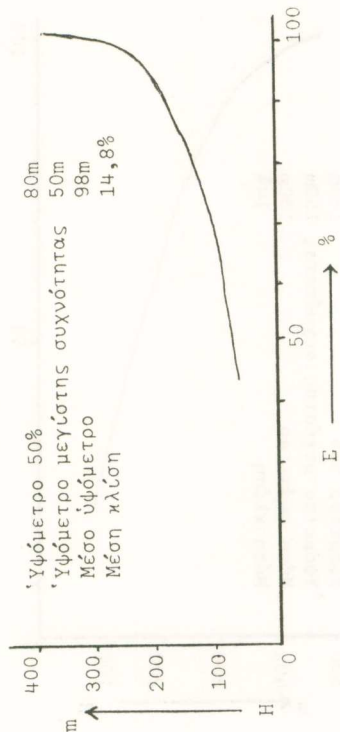
ΠΙΝΑΚΑΣ ΜΕΤΡΗΣΕΩΝ

'Ισούψεις'	'Επιφάνεια μεταξύ δύο διαδοχικών ίσοψιών km ²		'Επιφάνεια μεταξύ δύο διαδοχικών ίσοψιών %'		'Επιφάνεια έπι τοῖς %/ περιοριζούμενη ἀπό τὴν μεγαλύτερη ίσοψήν	
	0 - 100	100 - 200	200 - 300	300 - 400	400 - 500	500 - 600
0	1,455	0,520	0,245	0,005	0,0225	0,0225
100	65,6	23,445	14,046			
200						
300						

④

 $\Sigma\chi.$ 5.

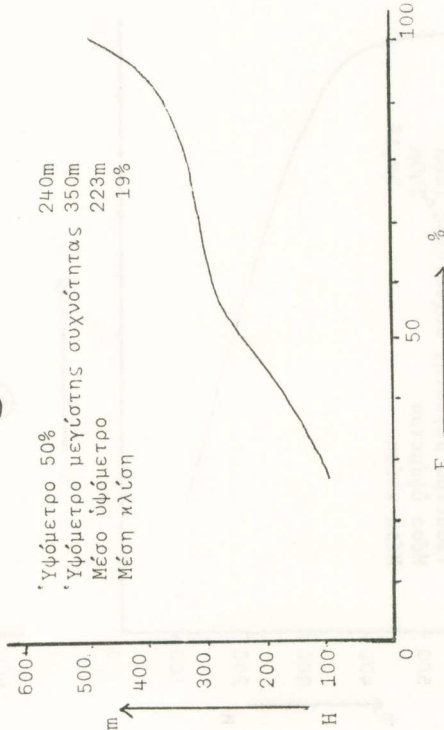
(5)



ΠΙΝΑΚΑΣ ΜΕΤΡΗΣΕΩΝ

Ισούψεζ	'Επιφάνεια μεταξύ δύο διαδοχικών ισούψεζ km ²	'Επιφάνεια μεταξύ δύο διαδοχικών ισούψεζ %	'Επιφάνεια επί τοις % περιοριζομένη από τη μεγαλύτερη ισούψεζ
0 - 100	1,562	62,984	62,984
100 - 200	0,692	27,903	90,887
200 - 300	0,207	8,347	99,234
300 - 400	0,03	1,21	100

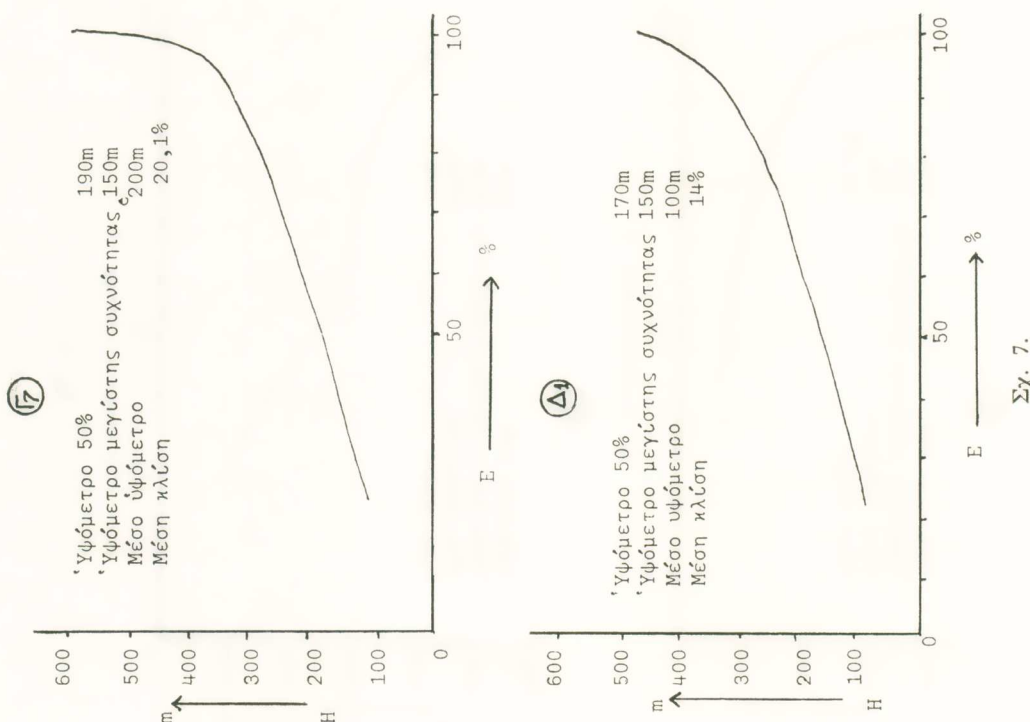
(6)



ΠΙΝΑΚΑΣ ΜΕΤΡΗΣΕΩΝ

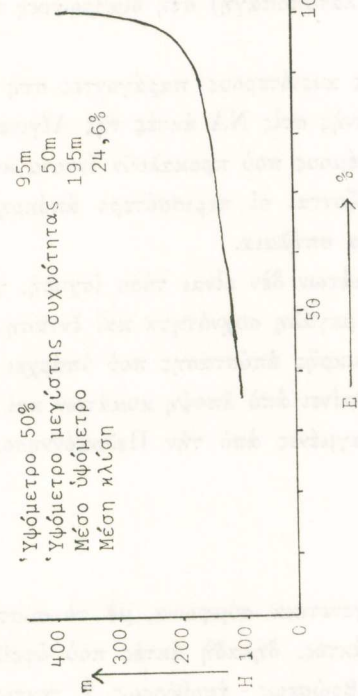
Ισούψεζ	'Επιφάνεια μεταξύ δύο διαδοχικών ισούψεζ km ²	'Επιφάνεια μεταξύ δύο διαδοχικών ισούψεζ %	'Επιφάνεια επί τοις % περιοριζομένη από τη μεγαλύτερη ισούψεζ
0 - 100	1,55	27,43	27,43
100 - 200	0,93	16,46	43,89
200 - 300	1,01	17,88	61,87
300 - 400	1,83	32,39	94,46
400 - 500	0,33	5,84	100
500 - 600			

Σχ. 6.



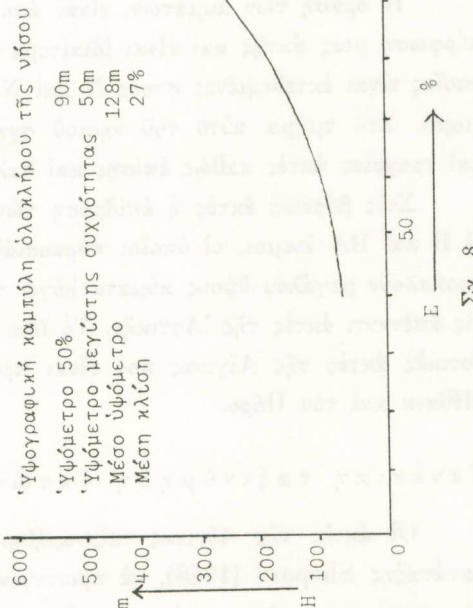
Σκ. 7.

Ⓐ



ΠΙΝΑΚΑΣ ΜΕΤΡΗΣΕΩΝ

Ισούψεις	Έπιφάνεια μετρήσι δύο διαδοχικών ισούψεων km^2	Έπιφάνεια έπι τοις %	Έπιφάνεια έπι τοις % περιοριζούμενη ΔΠΔ τη μεγαλύτερη ισούψεις
0 - 100	3,88	54,077	54,077
100 - 200	3,01	44,95	96,02
200 - 300	0,285	3,97	99,99
300 - 400	0,01	0,439	100



ΠΙΝΑΚΑΣ ΜΕΤΡΗΣΕΩΝ

Ισούψεις	Έπιφάνεια μετρήσι δύο διαδοχικών ισούψεων km^2	Έπιφάνεια έπι τοις %	Έπιφάνεια έπι τοις % περιοριζούμενη ΔΠΔ τη μεγαλύτερη ισούψεις
0 - 100	42,96	52	52
100 - 200	22,32	27	79
200 - 300	11,04	13,32	92,32
300 - 400	5,32	6,4	98,72
400 - 500	1,02	1,23	99,95

Σχ. 8.

Γ. Α Κ Τ Ε Σ

Οι ἀκτὲς ταξινομοῦνται μὲ μορφολογικὰ καὶ γενετικὰ κριτήρια, Ἐξετάζονται οἱ παράγοντες ποὺ ἐπιδροῦν στὴ μορφὴ τους καὶ ἀξιολογεῖται ὁ βαθυὸς ἐπιδρασῆς τοῦ κάθε παράγοντα.

Μορφολογικὴ ταξινόμηση

Οι ἀκτὲς τοῦ βόρειου τμήματος τοῦ νησιοῦ, ποὺ σχηματίζονται ἀπὸ ιζηματογενὴ πετρώματα, εἶναι κατὰ κανόνα ὅμαλές, εὐθυγραμμισμένες, χωρὶς μεγάλες ἐγκολπώσεις. Οἱ παράκτιες περιοχὲς προεκτείνονται ὅμαλὰ μὲ μικρὲς κλίσεις πρὸς τὸ ἐσωτερικὸ τοῦ νησιοῦ σὲ ἀρκετὸ πλάτος. Ὁμαλὸς ἐπίσης εἶναι καὶ ὁ θαλάσσιος πυθμένας ποὺ κατέρχεται μὲ μικρὲς κλίσεις μέχρι τὴν ίσοβαθὴ τῶν 50 μέτρων.

Διαφορετικὴ εἶναι ἡ μορφολογία τῶν ἀκτῶν τοῦ νότιου τμήματος τοῦ νησιοῦ, ποὺ ἀποτελεῖται σχεδὸν ἀποκλειστικὰ ἀπὸ ἡφαιστειακὰ πετρώματα. Οἱ ἀκτὲς εἶναι ἀπότομες μὲ μεγάλες κλίσεις ποὺ συνεχίζονται καὶ ὑποθαλάσσια. Σὲ πολλὰ σημεῖα σχηματίζουν μικροὺς καὶ μεγάλους ὅρμους, οἱ δποῖοι δημιουργήθηκαν λόγω τῆς διαφορετικῆς ἀντοχῆς τῶν πετρωμάτων (ἀδροκυρσταλλικὲς λάβες, μικροκυρσταλλικὲς λάβες, ἡφαιστειακοὶ τόφοι καὶ λατυποπαγή) στὴ διαβρωτικὴ ἐνέργεια τῶν κυμάτων.

Ἡ δράση τῶν κυμάτων, εἶναι ἀπὸ τοὺς κυριότερους παράγοντες στὴ διαμόρφωση μιᾶς ἀκτῆς καὶ εἶναι ίδιαίτερα ἐμφανῆς στὶς ΝΑ ἀκτὲς τῆς Αἴγινας, οἱ δποῖες εἶναι ἐκτεθειμένες στοὺς Ν καὶ ΝΑ ἀνέμους ποὺ προκαλοῦν ἔντονο κυματισμό. Στὸ τμῆμα αὐτὸ τοῦ νησιοῦ σχηματίζονται οἱ περισσότερο ἀπόκρημνες καὶ τραχεῖες ἀκτὲς καθὼς ἐπίσης καὶ θαλάσσια σπήλαια.

Στὶς βόρειες ἀκτὲς ἡ ἐπιδραση τῶν κυμάτων δὲν εἶναι τόσο ισχυρή, γιατὶ οἱ Β καὶ ΒΑ ἀνέμοι, οἱ δποῖοι παρουσιάζουν μεγάλη συχνότητα καὶ ἔνταση, δὲν προκαλοῦν μεγάλου ὕψους κύματα λόγω τῆς μικρῆς ἀπόστασῆς ποὺ ὑπάρχει ἀπὸ τὶς ἀπέναντι ἀκτὲς τῆς Ἀττικῆς. Τὸ ίδιο συμβαίνει ἀπὸ ἀποψη κυμάτων καὶ στὶς δυτικές ἀκτὲς τῆς Αἴγινας ποὺ εἶναι προφυλαγμένες ἀπὸ τὴν Πελοπόννησο, τὰ Μέθανα καὶ τὸν Πόρο.

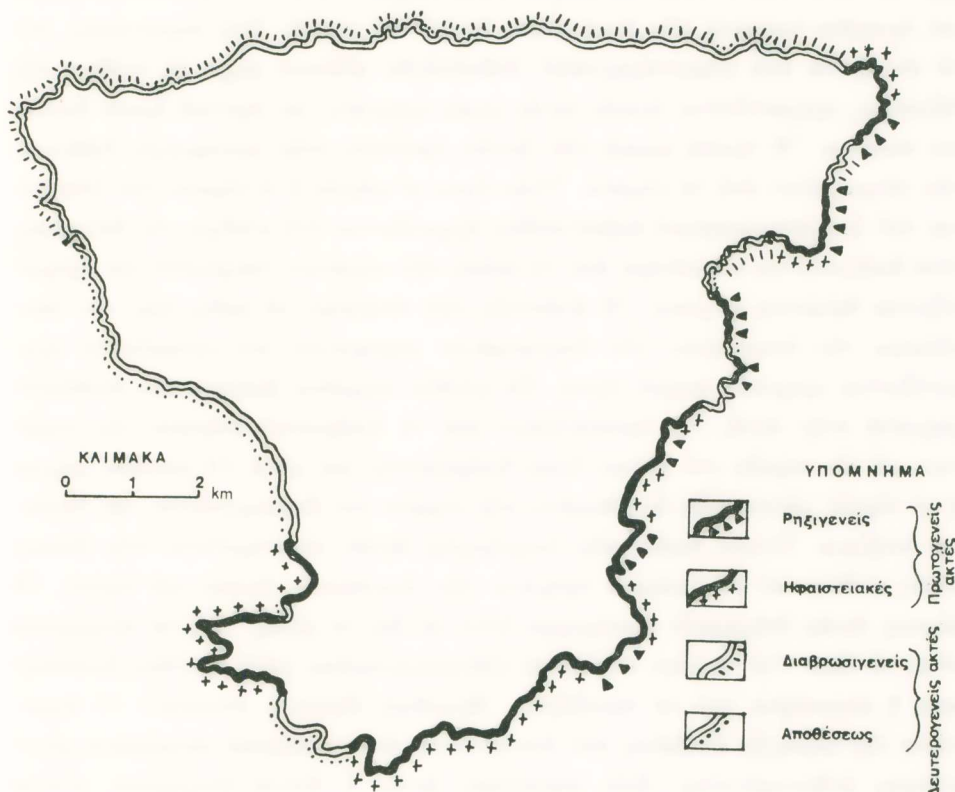
Γενετικὴ ταξινόμηση ἀκτῶν

Οἱ ἀκτὲς τῆς Αἴγινας ταξινομήθηκαν γενετικὰ σύμφωνα, μὲ τὸ σύστημα κατάταξης Shepard (1948), σὲ πρωτογενεῖς ἀκτές, δηλαδὴ ἀκτὲς ποὺ ὄφείλουν τὴ μορφὴ τους σὲ χερσαίους παράγοντες διαβρώσεως - ἀποθέσεως ἢ τεκτονικὰ

αίτια και σε δευτερογενεῖς ἀκτές ποὺ προέρχονται ἀπὸ τὴ δράση θαλασσίων παραγόντων (διαβρωση ἀπὸ κύματα ή θαλάσσια ἀπόθεση) (σχ. 9).

Οἱ πρωτογενεῖς μποροῦν νὰ διακριθοῦν σὲ ρηξιγενεῖς και ἡφαιστειακές. Οἱ πρῶτες ἐμφανίζονται στὸ ἀνατολικὸ τμῆμα τοῦ νησιοῦ και ὀφείλουν τὸ σχηματισμό τους σὲ ρήγματα μεταπλειοκαινικῆς ἥλικας. Εἶναι πολὺ ἀπότομες ἀκτές

ΧΑΡΤΗΣ ΓΕΝΕΤΙΚΗΣ ΤΑΞΙΝΟΜΗΣΗΣ ΑΚΤΩΝ



Σχ. 9.

ποὺ σχηματίζουν κρημνούς ὅψους 20 - 60 μέτρων. Οἱ ρηξιγενεῖς ἀκτές ποὺ παρατηροῦνται στὶς λάβες, διατηροῦνται σχεδὸν ἀνέπαφες λόγω τῆς μεγάλης ἀντοχῆς τῶν πετρωμάτων στὴ διαβρωτικὴ ἐνέργεια τῶν κυμάτων. Οἱ ἡφαιστειακές ἀκτές σχηματίστηκαν πρωτογενῶς ἀπὸ ἔχχυση λάβας. Στὴν κατηγορία αὐτὴ ἀνήκουν ὅλες σχεδὸν οἱ ἀκτές τοῦ νότιου τμήματος τοῦ νησιοῦ. Εἶναι ἀπότομες χωρὶς ὄμως νὰ σχηματίζουν κρημνούς. Οἱ παράκτιες περιοχές ἐμφανίζουν μεγάλες ιλίσεις,

διότι πρόκειται γιὰ τὶς κλιτύες ἐνὸς ἡφαιστειακοῦ κάτου. Οἱ ἔδιες κλίσεις συνέχιζονται καὶ ὑποθαλάσσια, γεγονὸς ποὺ συνηγορεῖ γιὰ τὸν πρωτογενὴ χαρακτήρα τῶν ἡφαιστειακῶν ἀκτῶν.

Σχετικὰ μὲ τὶς δευτερογενεῖς ἀκτές, μποροῦν νὰ διαχριθοῦν σὲ διαβρωσιγενεῖς καὶ ἀποθέσεως.

Οἱ διαβρωσιγενεῖς ἀκτές ὀφείλουν τὴν διαμόρφωσή τους στὴ διάβρωση τῶν κυμάτων καὶ ἡ μορφὴ τους ἔχει ἀμεση σχέση μὲ τὴ λιθολογία καὶ τὴ σειρὰ διαδοχῆς τῶν στρωμάτων. Στὴν κατηγορία αὐτὴ ἀνήκουν ὅλες οἱ βόρειες ἀκτές καθὼς καὶ ὄρισμένα τμήματα τῶν ἀνατολικῶν ἀκτῶν τοῦ νησιοῦ. Στὶς περιπτώσεις ποὺ τὰ στρώματα ἀπὸ ψαμμιτομαργαϊκὸ ἀσβεστόλιθο φθάνουν μέχρι τὴ στάθμη τῆς θάλασσας, σχηματίζονται ὁμαλὲς ἀκτές χωρὶς κρημνοὺς μὲ σχετικὰ ὁμαλὸ θαλάσσιο πυθμένα. Ἡ ὁμαλὴ μορφὴ τῶν ἀκτῶν ὀφείλεται στὴν ὁμοιόμορφη διάβρωση τῶν πετρωμάτων ἀπὸ τὰ κύματα. "Οταν ὅμως οἱ μάργες ἢ οἱ τόφφοι, ποὺ ὑπόκεινται τοῦ ψαμμιτομαργαϊκοῦ ἀσβεστολίθου, ἐμφανίζονται στὴ στάθμη τῆς θάλασσας, τότε διαβρώνονται εὔκολότερα ἀπὸ τὴ δράση τῶν κυμάτων, ὑποχωροῦν καὶ σχηματίζονται θαλάσσια σπήλαια. Ἡ ἀνάπτυξη τῶν σπηλαιῶν σὲ βάθος ἔχει σὰν ἀποτέλεσμα τὴν ὑπονόμευση τῶν ὑπερκειμένων στρωμάτων ποὺ καταπίπτουν σχηματίζοντας κρημνοὺς μικροῦ ὕψους. Τὰ μεγάλα κομμάτια βράχων, ποὺ κατέπεσαν μπροστὰ στὴν ἀκτή, τὴν προστατεύουν ἀπὸ τὴ διαβρωτικὴ ἐνέργεια τῶν κυμάτων, μὲ τὴν πάροδο τοῦ χρόνου ὅμως διαβρώνονται καὶ αὐτά. Οἱ μαλακὲς μάργες ἢ οἱ τόφφοι μένουν πάλι ἐκτεθειμένοι στὰ κύματα καὶ δημιουργοῦνται νέα θαλάσσια σπήλαια. Τέτοιες διαδικασίες ὑποχώρησης ἀκτῶν παρατηροῦνται στὶς βόρειες ἀκτές καθὼς καὶ σὲ ὄρισμένα τμήματα τῶν ἀνατολικῶν ἀκτῶν τοῦ νησιοῦ. Οἱ βόρειες ἀκτὲς ὑποχωροῦν ὁμοιόμορφα διότι σὲ ὅλο τὸ μῆκος τους τὰ πετρώματα εἶναι τὰ ἔδια. Γιὰ τὸ λόγο αὐτὸν εἶναι εὐθυγραμμισμένες χωρὶς μεγάλες ἐγκολπώσεις ἢ ἀκρωτήρια ποὺ νὰ προεξέχουν. Μοναδικὴ ἔξαίρεση ἀποτελοῦν τὰ ἀκρωτήρια τῆς περιοχῆς Σουβάλας ποὺ ἀποτελοῦνται ἀπὸ μεσοζωϊκὰ πετρώματα μεγαλύτερης ἀνθεκτικότητας. Στὶς ἀνατολικές ἀκτές ἡ ἔντονη ὑποχώρηση γίνεται ἐκλεκτικά, μόνο σὲ ὄρισμένα τμήματα, ὅπου ἐμφανίζονται μαλακὰ πετρώματα μὲ ἀποτέλεσμα τὴ δημιουργία κόλπων καὶ ὄρμων (ὅπως εἶναι ὁ ὄρμος τῆς Ἀγ. Μαρίνας). Στὸ βόρειο τμῆμα του "Ορμου τῆς Ἀγ. Μαρίνας" ἡ ὑποχώρηση τῶν ἀκτῶν εἶναι ἰδιαίτερα ἔντονη διότι ἐκτὸς ἀπὸ τὴ λιθολογία ποὺ εὐνοεῖ τὴ γρήγορη διάβρωση, οἱ ἀκτὲς αὐτὲς εἶναι ἐκτεθειμένες στοὺς N καὶ NA ἀνέμους ποὺ προκαλοῦν ἔντονο κυματισμό. Ἡ ταχύτατη ὑποχώρηση τῶν ἀκτῶν σὲ συνδυασμὸ μὲ τὴν ἔντονη οἰκοδομικὴ δραστηριότητα καὶ κατασκευὴ μεγάλων κτισμάτων σὲ μικρὴ

ἀπόσταση ἀπὸ τὴν ἀκτή, δημιουργεῖ σοβαρὸ πρόβλημα γιὰ τὴν ἀνθεκτικότητα τῶν οἰκοδομημάτων καὶ θὰ πρέπει νὰ ληφθεῖ εἰδικὴ μέριμνα.

Δευτερογενεῖς ἀκτὲς σχηματίζονται ἐπίσης καὶ ἀπὸ ἡφαιστειακοὺς τόφφους καὶ λατυποπαγή. Οἱ ἀκτὲς αὐτὲς προέρχονται ἀπὸ τὴν ἔξελιξη πρωτογενῶν ἡφαιστειακῶν ἀκτῶν οἱ ὁποῖες λόγω τοῦ χρόνου ποὺ μεσολάβησε ἀπὸ τὸ σχηματισμὸν τους (τέλος Πλειοκαίνου - σήμερα) καὶ τῆς μειωμένης ἀντοχῆς στὴ διάβρωση, παρουσιάζουν περισσότερους χαρακτῆρες θαλάσσιας διάβρωσης καὶ κατατάσσονται στὴν κατηγορία τῶν δευτερογενῶν ἀκτῶν. Ἀκτὲς τοῦ τύπου αὐτοῦ ἀπαντῶνται στὴν περιοχὴ μεταξὺ τῶν ὅρμων Ἀγ. Μαρίνας καὶ Πόρτες. Πρόκειται γιὰ ἀπότομες καὶ τραχεῖες ἀκτὲς ποὺ σχηματίζουν σὲ πολλὰ σημεῖα κρημνούς ὑψους μέχρι καὶ 50 μέτρα.

"Οσον ἀφορᾶ τὶς ἀκτὲς θαλάσσιας ἀποθέσεως, ἔχουμε νὰ παρατηρήσουμε τὰ ἀκόλουθα. Στὴν κατηγορία αὐτὴ ἀνήκουν οἱ δυτικὲς κυρίως ἀκτές, ἀπὸ τὴν πόλη τῆς Αἴγινας μέχρι τὸν ὅρμο Μαραθώνα, τμήματα τῶν νοτίων ἀκτῶν τῆς περιοχῆς Πέρδικας καθὼς καὶ ὁ μυχὸς τοῦ ὅρμου Ἀγ. Μαρίνας τῶν ἀνατολικῶν ἀκτῶν. Οἱ ἀκτὲς αὐτὲς κατατάσσονται στὶς δευτερογενεῖς ποὺ σχηματίζονται ἀπὸ θαλάσσια ἀπόθεση, κυρίως ἄκμου. Τὰ ὑλικὰ ἀπὸ τὰ ὅποια σχηματίζονται οἱ ἀκτὲς αὐτὲς προέρχονται ἀπὸ τὴν ξηρὰ καὶ εἶναι κυρίως ἀλλουβιακὲς προσχώσεις, ἀλλὰ ἡ ἀπόθεσὴ τους στὴν ἀκτὴ ἐλέγγεται ἀπὸ θαλάσσιους παράγοντες ὅπως τὰ κύματα καὶ τὰ ρεύματα. Γενικὰ οἱ ἀκτὲς αὐτὲς εἶναι πολὺ δύμαλές, ἀμμώδεις καὶ ἔχουν αἰγιαλὸ σημαντικοῦ πλάτους.

ΣΥΜΠΕΡΑΣΜΑΤΑ

Στὴν Αἴγινα διακρίνονται 4 μορφολογικὲς ἑνότητες ποὺ καθορίζονται ἀπὸ τὴ διαφορετικὴ λιθολογία καὶ τὴν παλαιογεωγραφικὴ ἔξελιξη κάθε περιοχῆς.

Στὶς λάβες ἐπικρατεῖ ὁ τύπος τῆς σφαιρικῆς ἀποσάθρωσης κατὰ μῆκος τῶν κατατμήσεων. Ὁ βαθμὸς καὶ ἡ ταχύτητα ἀποσάθρωσης εἶναι μεγαλύτερος στὶς λάβες τῆς πρώτης ἡφαιστειακῆς περιόδου γιατὶ παρουσιάζουν περισσότερες κατατμήσεις. Ὁ ἔντονος κατακερματισμὸς τῶν ἡφαιστειακῶν λατυποπαγῶν τοῦ κεντρικοῦ τμήματος ὀφείλεται στὴ διαφορικὴ διάβρωση μαργῶν καὶ ἡφαιστειακῶν λατυποπαγῶν.

Ἡ μορφολογία τοῦ βορείου τμήματος τοῦ νησιοῦ παρουσιάζει χαρακτηριστικὰ σταδίου νεότητας καὶ ὀφείλει τὴ γένεσή του σὲ ἀνοδικὲς κινήσεις ποὺ ἔγιναν κατὰ τὴ διάρκεια τοῦ τεταρτογενοῦς. Οἱ κοῖτες τῶν χειμάρρων τοῦ τμήματος αὐτοῦ εἶναι προκαθορισμένες ἀπὸ παλαιότερο ἀνάγλυφο.

Τὸ ὄδρογραφικὸ δίκτυο παρουσιάζει μιὰ γενικὴ ἀκτινωτὴ διάταξη καὶ σχηματίζει πολλὲς μικρὲς αὐτοτελεῖς λεκάνες ἀπορροῆς. Ἡ πυκνότητα εἶναι μεγαλύτερη στὶς περιοχὲς ποὺ καλύπτονται ἀπὸ λάβες καὶ μικρότερη στὰ ἡφαιστειακὰ λατυποπαγή καὶ στὶς πλειο-τεταρτογενεῖς ἀποθέσεις. Ἀπὸ τὴ μελέτη τῶν μορφομετρικῶν στοιχείων τῶν λεκανῶν ἀπορροῆς καὶ τὴ σύγκριση τῶν τιμῶν μέσης κλίσεως προέκυψε ὅτι τὸ ἀνάγλυφο ὁρισμένων λεκανῶν ἀπορροῆς ποὺ δημιουργήθηκε ἀπὸ τὴν ἡφαιστειακὴν δραστηριότητα δὲν ἔχει ἐπηρεασθεῖ ἀπὸ τὴ διάβρωση.

Ἡ μορφολογία τῶν ἀκτῶν καθορίζεται ἀπὸ τὴ λιθολογία, τὶς πρωτογενεῖς μορφὲς ἀναγλύφου ποὺ προῆλθαν ἀπὸ τὴν ἡφαιστειότητα καὶ τὶς τεκτονικὲς δράσεις τοῦ τεταρτογενοῦς. Πρέπει νὰ σημειωθεῖ ἴδιαιτερα ἡ μεγάλη ταχύτητα ὑποχώρησης ὁρισμένων τμημάτων τῶν ἀνατολικῶν ἀκτῶν, ποὺ πρέπει νὰ ληφθεῖ ἴδιαιτερα ὑπόψη γιὰ τὴν κατασκευὴν παράκτιων οἰκοδομημάτων.

S U M M A R Y

In the aim of the geomorphological analysis of Aegina island, the morphological characteristics of the region are studied in respect with erosion weathering processes. The drainage network is studied by quantitative morphologic analysis and the futures of the drainage basins are determinated. The coasts are also studied and classified according to morphological criteria. The factors which are discussed, influence the shape of the coasts and rate of coastal changes.

The following conclusions were drawn :

Four geomorphological entities are observed in Aegina that are determined by the lithological, palaeogeographic evolution of each region.

In the lavas, the sphaeroidal weathering-type predominates which takes place along the joints. The grade and the velocity of weathering is higher in the lavas of the first volvanic period due to the great number of joints.

The differential erosion of the marly-volcanic breccia is responsible for the breaking-down of the volcanic breccia of the central part of the island.

The morphology of the north part of the island shows evidences of young age, because of the uplifting movements which took place during

Quaternary. The streams which traverse this part are superposed from an earlier surface.

The drainage network shows a radial pattern and individual drainage networks are formed. The density of the drainage network is higher in regions that are covered by lavas while the lower densities are observed in regions of Plio-Quaternary deposits. Through the analysis of the morphometric data of drainage basins it is concluded that the slope of some basins is primary, that the relief was formed by volcanic activity and not by erosion.

The morphology of the coasts is determined by the lithology (differential erosion of sandy-marly limestones-marls), the primary landforms of the relief which were derived from volcanism and the Quaternary tectonic activities. It must be noted that the high grade of retreatment of a few parts of the east coasts could create stability problems in the constructions.

ΒΙΒΛΙΟΓΡΑΦΙΑ

- P. Bobblaye, et Th. Virlet, Exp. Scient. de Morée. Section des sciences physiques.
Tome II, 2e partie, Géol. et Mineral., p. 239 - 270, 364 - 370, Paris, 1877.
- S. Cailleret - P. Tsoli, Contribution à l'histoire géologique de l'île d'Egine (Archipel Crec). C. R. Acad. Sc. Paris, 274, p. 3515 - 3518, Paris, 1972.
- E. Davis, Die jungvulkanischen Gesteine von-Aegina, Methana und Poros und deren Stellung im Rahmen der Kykladen provinz. Vulk. Inst. I. Friedländer Zürich, 1957.
- A. Kαραπινέρης, 'Επί μιᾶς καταστρεπτικῆς πτώσεως κεραυνοῦ ἐπὶ τοῦ ναοῦ τῆς Ἀφαίας εἰς Αἴγιναν. 'Αρχ. Δελτ. 25, σελ. 20 - 25, 1970.
- B. Λαγγούση - Σιδερη, Συμβολὴ εἰς τὴν γνῶσιν τῶν τρηματοφόρων τοῦ νεογενοῦς τῆς Αίγινης. Πρακτ. Ακαδ. Αθηνῶν, 37, σ. 309 - 318. 'Αθῆναι, 1962.
- Γ. Λειβάδη της, Γεωλογικὰ καὶ γεωμορφολογικὰ παρατηρήσεις ἐπὶ τῆς νήσου Αίγινης. Διατριβὴ ἐπὶ διδακτορίᾳ, 'Αθῆναι, 1974.
- v. R. Leyden, Der Vulkanismus des Golfes von Aegina und seine Beziehungen zur Tektonik. - Vulk. Inst. I. Friedländer. Zürich. 1940.
- Γ. Μαρίνος, 'Επὶ τῆς παρακτίου θαλασσίας γεωλογίας τοῦ Ιονίου καὶ τοῦ Αιγαίου πελάγους. Παραδείγματα ἐκ τῆς Κερκύρας καὶ τῆς Αττικῆς. Πρκ. Ινστ. Ωκεανογρ. καὶ Αλιευτικ. Ερευνῶν, τόμ. Χα, σ. 9 - 18, 1971.
- I. Μελένης, 'Η γεωλογικὴ κατασκευὴ τῆς νήσου Αγκίστρι. Πρακτ. Ακαδ. Αθηνῶν, 48, σελ. 341 - 351, 'Αθῆναι, 1963.
- I. Παπασταύρου, Τὰ νεογενῆ ἡφαίστεια τῆς Κρομμυδώνας, 'Αθῆναι, 1937.

- A. Philippsen, Die griechischen Landschaften. Der Peloponnes. Band III, teil I, S. 47 - 58, Frankfurt, 1959.
- W. Reiss, und A. Stübel, Ausflug nach den Vulkanischen Gebirgen von Ägina und Methana. Heidelberg, 1866.
- A. N. Strahler, Quantitative analysis of watershed geomorphology. Amer. Geoph. Union Trans. 38, p. 913 - 920, 1957.
- N. Συμεωνίδης - M. Δερμιτζάκης, Συμβολή εις τὴν γνῶσιν τῆς γεωλογίας τῆς νήσου Ἀγγιστρίου καὶ Μετώπης (ΝΔ Αἰγαίης). Γεωλ. Χρον. Ἑλλην. Χωρῶν, 25, σ. 250 - 280, Ἀθῆναι, 1973.
- H. Washington, A petrographical sketch of Aegina and Methana. J. Geol. 2, (1894), p. 789 - 813 and 3 (1895), p. 21 - 46, 1894 - 95.